

ДОДАТКИ

МІНІСТЕРСТВО ОСВІТИ І НАУКИ УКРАЇНИ
ХАРКІВСЬКИЙ НАЦІОНАЛЬНИЙ УНІВЕРСИТЕТ РАДІОЕЛЕКТРОНІКИ
ФАКУЛЬТЕТ КОМП'ЮТЕРНОЇ ІНЖЕНЕРІЇ ТА УПРАВЛІННЯ
КАФЕДРА КІТС

Інтелектуальна система безперервного регулювання температури робочих рідин

Магістрант гр.КІТМ-21-2
Науковий керівник

Сапега О.А.
ст.викл. Ілюїнін О.О.

ОСОБЛИВОСТІ СПОЖИВАННЯ ТЕПЛОВОЇ ЕНЕРГІЇ В ТП

2

Швидкість травління сталевих смуги – t_p нелінійно пов'язана з керованими параметрами ТП: $T(^{\circ}\text{K})$ – температурою розчину, C – концентрацією сірчаної кислоти в травильному розчині, та некерованою концентрацією мультігідратів сульфату заліза – C_{2n} , та тепловою енергією – Q :

$$\ln \frac{C(t_{n+1})_{H_2SO_4}}{C(t_n)_{H_2SO_4}} = A \cdot e^{-(E_a + \Delta E_T)/RT} \cdot \Delta t$$

де R – універсальна газова константа; $C(t_{n+1})_{H_2SO_4}$ – концентрація сірчаної кислоти вкупі з C_{2n} в ванні на момент часу (t_{n+1}) ; $C(t_n)_{H_2SO_4}$ – теж саме на момент часу (t_n) ; A – множник Арреніуса;

$E_a = f(C, T)$ – енергія активації реакції; ΔE_T – частина теплової енергії Q , що передається в ТП та стабілізує швидкість травління – $t_p; \Delta t = t_{n+1} - t_n$.

Також обов'язкова умова постійного теплозабезпечення ТП величиною тепла $Q_c(t)$ – умовно постійні витрати тепла:

$$\frac{dQ}{dt} \geq Q_r(t) - Q_c(t) - Q_{rv}(t)$$

де $Q_{rv}(t)$ – величина потреб теплової енергії, яка залежить від випадкової кількості окалини, що вступає в реакцію і зменшує концентрацію (хімічну активність) ТП, та обмежена нечітким інтервалом $0 \leq Q_{rv} \leq 0.02 \cdot Q_c$. В сталому ТП $Q_c \approx 2.893 \text{ МВт}$, загальні витрати ТП $Q_r \leq 3.765 \text{ МВт}$.

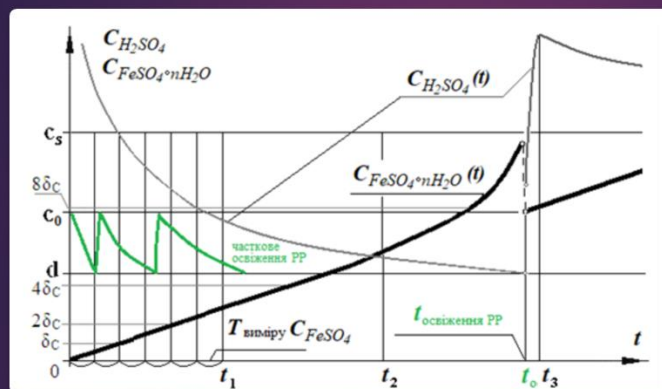
ОСОБЛИВОСТІ ВПЛИВУ НА ТП ВМІСТУ В РР МУЛЬТІГІДРАТІВ

3

| Формула сполуки | Колір кристал | $T_f, ^\circ\text{C}$ (утворення) | $Y_{LR}(\text{RGB}) = R*0.299+G*0.587+B*0.114$ -оцінка яскравості | LR-інтервал RGB-коду кольору сполуки | | | Вплив вмісту сполуки в ТР на ТП |
|-------------------------------------------|------------------|--------------------------------------|----------------------------------------------------------------------|--------------------------------------|-----------|-----------|------------------------------------------------------------------------------------------------------------------------------------|
| | | | | R_{L-R} | G_{L-R} | B_{L-R} | |
| $\text{FeSO}_4 \cdot 7\text{H}_2\text{O}$ | Блакитно-зелений | -1,82÷56,8 | 119,742÷163,43 | 81÷145 | 147÷183 | 81÷111 | Присутність в ТР $C_{\text{FeSO}_4 \cdot n\text{H}_2\text{O}} \leq (12 \div 15)\%$ зменшує $T_p \Delta Q_{\text{рег}}^{T_p}$ 0,5 · |
| $\text{FeSO}_4 \cdot 4\text{H}_2\text{O}$ | Зелений | 56,8÷64 | 80,671÷85,08 | 0÷2 | 125÷128 | 64÷82 | |
| $\text{FeSO}_4 \cdot \text{H}_2\text{O}$ | Прозоро-білий | ≥64 | 245÷255 | 245÷255 | 245÷255 | 245÷255 | |

Динамічний процес травління сталі характеризується монотонною функцією росту концентрації мультігідратів за час $(0; t_0)$, яка залежить від кількості протравленої окалини з різною товщиною утворення та обмежена зверху величиною ГДК: при передаварійному стані $C_{\text{FeSO}_4 \cdot n\text{H}_2\text{O}}(t_0) \geq C_s$ або $C_{\text{FeSO}_4 \cdot n\text{H}_2\text{O}}(t_0) \geq 2\%$ здійснюють повну заміну РР, при $C_{\text{H}_2\text{OSO}_4}(t_0) \leq d$ – часткове освіження до регламентованої величини.

4

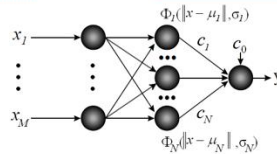


Освіження розчину при граничній концентрації шлаків

ІНТЕЛЕКТУАЛЬНА ІДЕНТИФІКАЦІЯ ПАРАМЕТРІВ РР

5

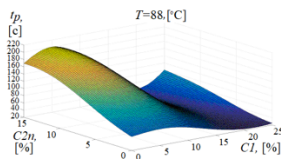
При побудові РБМ ідентифікації стану травильного розчину в якості вхідних аргументів були обрані параметри в робочих інтервалах: C_1 – масова концентрація сірчаної кислоти H_2SO_4 (8-22%); C_{2n} – масова концентрація групи гідратів сульфатів заліза – $\text{sup}(C_{2n}) \leq 15\%$ в РР, T – температура розчину (75-95°C). Всі параметри пов'язані нелінійно, монотонно, присутня локальна екстремальна область. Побудова гіперповерхні $t_P = f(C_1, C_{2n}, T)$ дає можливість оперативно керувати ТП в оптимальних областях параметрів.



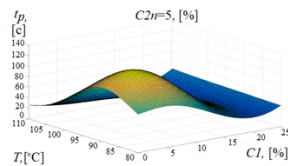
Всі запропоновані РБМ-моделі мають загальну структуру $M \times N \times 1$

ЕКЗЕМПЛЯРИ ПОБУДОВАНИХ РБМ ПОВЕРХОНЬ $t_P = f^*(C_1, C_{2n}, T)$

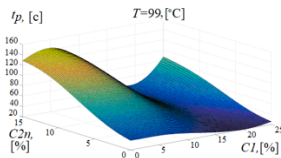
6



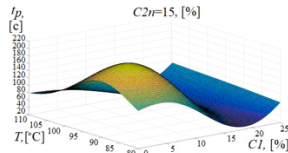
Екземпляр 3D – поверхні $t_P = f^*(C_1, C_{2n}, T = 88^\circ C)$



Екземпляр 3D – поверхні $t_P = f^*(C_1, C_{2n} = 5, T)$



Екземпляр 3D – поверхні $t_P = f^*(C_1, C_{2n}, T = 99^\circ C)$



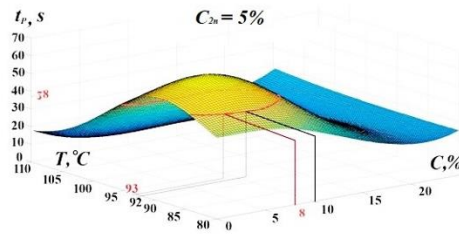
Екземпляр 3D – поверхні $t_P = f^*(C_1, C_{2n} = 15, T)$

Об'єднана гіперповерхня, з урахуванням обмежень реальних параметрів є ідентифікатором оптимальної швидкості травління – , яку визначає регламент для кожного виду сортаменту сталльної смуги. Застосовано апарат РВ – функцій і навчання моделі «з учителем» на вибірці вимірювань.

ВИЗНАЧЕННЯ ОПТИМАЛЬНОГО ЗАВДАННЯ T^* ДЛЯ РР

7

Транспонована доповнююча модель $T^* = f^*(C_1, C_{2n}, t_p)$, редукована за параметром C_{2n} за зрізом $t_p = \text{regl}$ оперативно визначає оптимальне завдання $T^*(k)$ при поточному значенні $C^*(k)$ в k -й момент часу відповідним регуляторам для стабілізації швидкості змотування $V(t)$. На рис. наведено приклад для $t_p = 38c$ і $C_{2n} = 5\%$.



$$T_{(n)}^*(10\%, 5\%, 38c) = 92^\circ C$$

$$T_{(n-1)}^*(8\%, 5\%, 38c) = 93^\circ C$$

ІДЕНТИФІКАЦІЯ ВМІСТУ МУЛЬТІГІДРАТІВ $FeSO_4 \cdot n \cdot H_2O$ В РР (1)

8

Інтерфейс системи комп'ютерного аналізу складу травильного розчину



Система, визначена нечіткою продукційною моделлю:

$$V_k \rightarrow C_k$$

відкрита, має можливість налаштування RGB-еталонів та донавчання у реальному часі. Під час експлуатації база даних доповнюється точковими синглетонами (v, c) та логічними правилами виду

$$R_i: \text{ЯКЩО } (V = v_i) \text{ ТО } (C = c_i) \text{ , де } i = 1, 2, \dots, n$$

Кожному зображенню РР (файлу *.JPEG) відповідає кількісна оцінка V_k наявності k -того гідрату, що підраховується за кількістю пікселів площі фрагменту зображення: $V_k = S_k \times V_k(RGB)$ де $V_k(RGB) = \{0;1\}$ – змінна належності пікселя (RGB) кольору до k -го кластеру, S_k – число пікселів, що потрапляють в k -й кластер кольору. Остаточні центри кластерів установлюються з усередненими координатами: $\tau_1(1) = (25.33, 46.67)$, $\tau_2(1) = (178, 210.67)$, $\tau_3(1) = (255.33, 313)$.

ІДЕНТИФІКАЦІЯ ВМІСТУ МУЛЬТІГІДРАТІВ $FeSO_4 \cdot n \cdot H_2O$ В РР (2)

9

Значення C_G на виході нечіткої моделі, побудованої за допомогою FCM-процедури, об'єднує всі вихідні функції належності та інтерполює $C(V(t))$. Остаточні центри кластерів устанавлюються з усередненими координатами: $\tau_1(1) = (25.33, 46.67)$, $\tau_2(1) = (178, 210.67)$, $\tau_3(1) = (255.33, 313)$:

$$C_G(v) = \frac{46.67 \cdot \mu_{r_1}(v) + 210.67 \cdot \exp\left\{-\frac{(v-178)^2}{664.44}\right\} + 313 \cdot \exp\left\{-\frac{(v-255.33)^2}{664.44}\right\}}{\mu_{r_1}(v) + \exp\left\{-\frac{(v-178)^2}{664.44}\right\} + \exp\left\{-\frac{(v-255.33)^2}{664.44}\right\}}$$

$$\Delta \text{e } \mu_{r_1}(v) = \exp\left\{-\frac{(25.33-v)^2}{2(50.89-42.45\omega)^2}\right\}, \text{ а}$$

$$\omega = \begin{cases} 1 & \text{for } 0 \leq v \leq 25.33 \\ 0 & \text{in other cases} \end{cases}$$

10

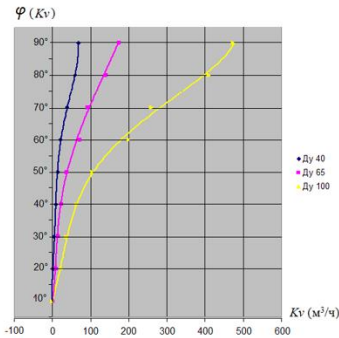
Послідовність дії моделей в ТП

Послідовність дії моделей в ТП наступна: $T^* = f^*(C_1, C_{2n}, t_p = \text{regl}) \rightarrow \varphi((G(T))) \rightarrow \tau(\varphi^*)$
 Параметр T^* ТР формує вхідне завдання для ШНМ моделі кута поверту ДПЗ $\varphi((G(T)))$, яка передає завдання φ в ШНМ обчислення тривалості керуючої напруги $G(T)$ для регулювання витрати $\tau(\varphi^*)$.

НЕЙРОМЕРЕЖЕВА МОДЕЛЬ КУТА ПОВОРОТУ ДПЗ

11

Дисковий поворотний затвор (ДПЗ), що регулює дебет теплоносія, має нелінійну пропускну характеристику ($\text{м}^3/\text{год}$), що залежить від ступеня «відкритості» ДПЗ – кута повороту. Величина забезпечує потреби витрат теплоносія для точного досягнення температури розчину.



Область визначення параметра розділяється на n підобластей-кластерів з центрами-медіанами, що призначаються в точках з відомими характеристиками.

При цьому і приймаються як центри сусідніх кластерів. Поточне значення витрат теплоносія відносять до i -го класу за критерієм мінімуму Евклідової відстані від оцінюваного об'єкта до центру i -го кластера:

$$\min d_{ij} = \|x_j - Kv_i\| = \sqrt{\sum_{l=1}^n (Kv_{l,i} - x_{l,j})^2}$$

де Kv_i – координата центру кластера щодо осі OX_i в просторі X_n ; x_j – координата об'єкта щодо осі OX_i в просторі X_n , в нашому випадку $n=1$.

НЕЙРОМЕРЕЖЕВА МОДЕЛЬ КУТА ПОВОРОТУ ДПЗ

12

Для кожного кластера будуються несиметричні функції належності типу:

$$\mu_i(G_H(t)) = \exp\left\{-\frac{(Kv_i - G_H(t))^2}{2(\omega \cdot \delta_i^2 + (1-\omega)\delta_i^2)}\right\}$$

де: $i=1,2,3,\dots,15$; формально $\delta_i = 1$; l – настроюваний показник згладжування функції;

$\omega \in \{0,1\}$ – логічна змінна належності до i -го кластера поточного значення $G_H(t)$: $Kv_i \leq G_H(t) < Kv_{i-1}$.

Для $i=1$ область визначення $G_H(t) < 80$, а для $i=15$ – $G_H(t) > 10$, функція належності набирає вигляду відповідно до параметрів:

$$\mu_{\phi 15}(G_H(t)) = \exp\left\{-\frac{(1,57 - G_H(t))^2}{2 \cdot 0,523^2}\right\}$$

Параметри моделі ДПЗ DN40

| i | 1 | 2 | 3 | 4 | 5 | 6 | 7 | 8 | 9 | 10 | 11 | 12 | 13 | 14 | 15 |
|-------------|-----|----------|----------|----------|----------|----------|----------|----------|----------|----------|----------|----------|----------|----------|-----------|
| l | 2 | 2 | 2 | 2 | 2 | 2 | 3 | 3 | 3 | 5 | 5 | 5 | 5 | 5 | 5 |
| φ_i | 90 | 87 | 80 | 77 | 70 | 67 | 60 | 56 | 50 | 47 | 40 | 37 | 30 | 20 | 10 |
| Kv_i | 80 | 67, 1 | 63, 3 | 50, 2 | 37, 5 | 26, 9 | 20, 8 | 19, 2 | 15, 4 | 11, 5 | 9,6 1 | 7,6 9 | 6,5 4 | 3,9 1 | 1,57 0 |
| δ_i | 4,3 | 1,2 7 | 4,3 7 | 4,2 3 | 3,5 3 | 2,0 3 | 0,5 3 | 1,2 7 | 1,3 | 0,6 3 | 0,6 4 | 0,3 8 | 0,8 8 | 0,7 8 | 0,52 3 |

На основі нечіткого класифікатора синтезована і налаштована модель $\varphi(G)$ структури (1-15-1), $\Delta T = \pm 1^\circ$

ПІ – РЕГУЛЯТОРИ ТЕМПЕРАТУРИ РР

| n | 1 | 2 | 3 | 4 | 5 | 6 | 7 |
|--------------------------------|--------|--------|--------|--------|-------|--------|--------|
| $\varphi_n = a \div b, ^\circ$ | 0÷30 | 30÷40 | 40÷50 | 50÷60 | 60÷70 | 70÷80 | 80÷90 |
| k_n | 0.1 | 0.142 | 0.272 | 0.402 | 0.49 | 0.81 | 1.0 |
| T_n, c | 20 | 6,67 | 6,67 | 6,67 | 6,67 | 6,67 | 6,67 |
| P_n | 159.3 | 99.93 | 54.26 | 33.58 | 31.66 | 19.15 | 15.52 |
| I_n | 0.8477 | 0.5128 | 0.2989 | 0.1669 | 0.18 | 0.1089 | 0.8822 |

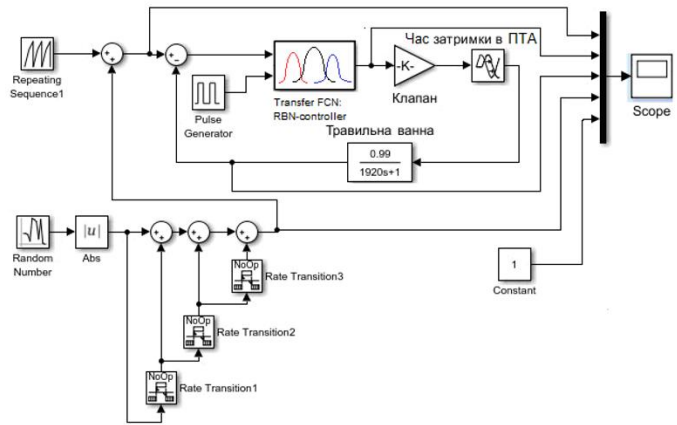
Отримано сімейство ПІ-регуляторів для $n=7$ інтервалів $\varphi(G)$, визначено передавальні функції $W_R(s) = P + \frac{I}{s}$ з оптимальними настроювальними параметрами P, I регулятора, які мінімізують час виходу системи в режим. Модальний режим ТП відповідає колонці 6. де T_n відповідає позиціонуванню ДПЗ в необхідний кут φ_n , що належить n -му інтервалу (прийнятий коефіцієнт перерегулювання $\zeta_1 = 1.315$).

При збільшенні числа n класів $\varphi_n = a \div b$ до нескінченності, запропонований алгоритм в сталому режимі ТП реалізує пропорційний регулятор витрати теплоносія $Kv(t)$ з установленими коефіцієнтами пропорційності P_n , і затримкою $\tau_n = (0, 0.6)c$ обумовленою часом обчислень і швидкістю ЕП. Отримані дані використані для навчання цифрового РБМ регулятор

СХЕМА МОДЕЛЮВАННЯ СИСТЕМИ З РБМ РЕГУЛЯТОРОМ T °C

Априорні дані та результати модельного експерименту з сімейством ПІ-регуляторів використовувалися для навчання РБМ – регулятора за принципом «наслідуючого нейрокерування». Тривалість напруги, що подається на ЕП (SIEMENS RSM 63/8F) обчислюються РБ ШНМ (5-16-1):

$$\tau_{on}(n) = F_{NN}(\varphi(n-1), \varphi(n), \Delta\varphi(n), t_{\varphi}(n-1), t_{\varphi}(n))$$



РЕЗУЛЬТАТИ МОДЕЛЮВАННЯ ХАРАКТЕРИСТИК РЕГУЛЯТОРІВ

16

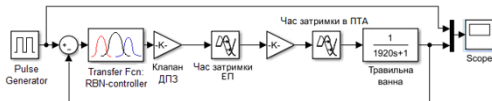


Схема РБМ моделі регулювання температури розчину

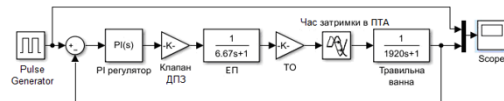
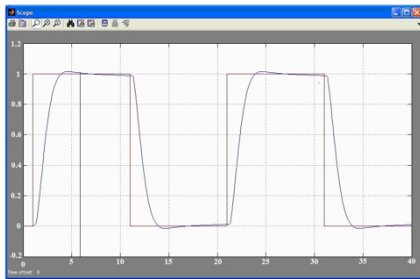
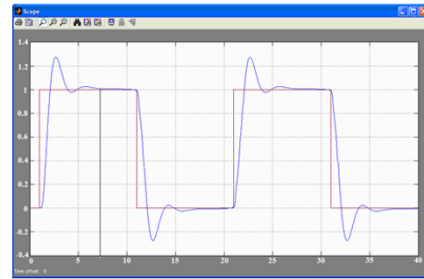


Схема моделювання ПІ-регулювання процесу



а)



б)

Результати моделювання за умови подачі на вхід послідовності прямокутних одиничних імпульсів показали: в РБМ-регуляторі (а) час входу системи в стійкий стан менший (5.9с) в порівнянні з 6.27с у ПІ-регулятора (б); практично відсутнє перерегулювання, зменшено число коливань системи та знижена динамічна помилка.

Оптимальне температурне завдання

17

Оптимальне температурне завдання формується з огляду на вартісний критерій

Критерій керування параметрами ТП стандартної вартісної форми враховує операційні витрати:

скаляр нормованих коефіцієнтів питомих витрат B і ваг значущості α враховує зміну кожного з керованих параметрів РР (ΔX):

ΔT – температури, ΔC – концентрації ТР, ΔC_n – концентрації солей у ТР, ΔV – швидкості змотування смуги.

У загальному випадку при формуванні поточних завдань регуляторам у вигляді (T^*, C^*, C_n^*, V^*) вирішується наступна оптимізаційна задача:

$$\begin{cases} \arg \min_x t_p \\ \text{for } B_1 \cdot \alpha_1 \cdot \Delta T + B_2 \cdot \alpha_2 \cdot \Delta C + B_3 \cdot \alpha_3 \cdot \Delta C_n + B_4 \cdot \alpha_4 \cdot \Delta V \rightarrow \min \end{cases}$$

НАУКОВА НОВИЗНА ОТРИМАНИХ РЕЗУЛЬТАТІВ

18

Удосконалено:

- ▶ – РБМ, що на відміну від існуючих моделей використовують гауссівські РБ функції з параметрами, налагоджуваними за методом зворотної помилки, та дозволили адекватно описати ТП безперервного травління смугової сталі в нестационарних умовах функціонування за наявністю невизначеностей та формувати оптимальне температурне завдання для регулювання витрат теплоносія;
- ▶ – РБМ-регулятор температури сірчаного розчину, який використовує відповідні моделі, та, на відміну від існуючих регуляторів, дозволяє адаптивно коригувати температуру розчину з урахуванням впливу змін складу розчину для підтримання його активності та регламентованої швидкості процесу за умов оптимізації енергетичних та технологічних ресурсних витрат;
- ▶ – РБМ модель, яка на відміну від існуючих реалізує нечітку кластеризацію компонентів травильного розчину, завдяки чому дозволила автоматизувати процес ідентифікації та оперативного контролю вмісту мультигідратів у розчині;

```
using System;
using System.Drawing;
using System.Timers;
using System.Windows.Forms;
using System.Windows.Forms.DataVisualization.Charting;
using Stub;

namespace WindowsFormsApp1
{
    public partial class Form1 : Form
    {
        private double _countHours = 0;
        private double _countTick = 0;
        private int _countSeconds = 0;
        private double _acid = 12;
        private NetUtils _netUtils;
        private global::RadialNet.RadialNet _radialNet;
        private double _temp = 75;
        private TemperatureRadialNet _temperatureRadialNet;
        private Graphics g;
        private int _angle;
        private double _soule = 0;
        private bool _power = true;
        public Form1()
        {
            InitializeComponent();

            StartPosition = FormStartPosition.CenterScreen;
            var rn = new global::RadialNet.RadialNet(2, 9, 1,
0);

            var stub = new NetUtils();
            var tempOpt = new TemperatureRadialNet();
```

```
        _temperatureRadialNet = tempOpt;
        _netUtils = stub;
        _radialNet = rn;
        _netUtils.TrainNet(rn);
        Form1_Load();
    }

private void Form1_Load()
{
    timer1.Enabled = true;
    chart1.ChartAreas[0].AxisY.Maximum = 100;
    chart1.ChartAreas[0].AxisY.Minimum = 70;

    chart1.ChartAreas[0].AxisX.LabelStyle.Format =
"H:mm:ss";
    chart1.Series[0].XValueType =
ChartValueType.DateTime;

    chart1.ChartAreas[0].AxisX.Minimum =
DateTime.Now.ToOADate();
    chart1.ChartAreas[0].AxisX.Maximum =
DateTime.Now.AddSeconds(14400).ToOADate();

    chart1.ChartAreas[0].AxisX.IntervalType =
DateTimeIntervalType.Seconds;
    chart1.ChartAreas[0].AxisX.Interval = 1200;

    chart2.ChartAreas[0].AxisY.Maximum = 90;
    chart2.ChartAreas[0].AxisY.Minimum = 0;

    chart2.ChartAreas[0].AxisX.LabelStyle.Format =
"H:mm:ss";
    chart2.Series[0].XValueType =
ChartValueType.DateTime;
```

```
        chart2.ChartAreas[0].AxisX.Minimum =
DateTime.Now.ToOADate();
        chart2.ChartAreas[0].AxisX.Maximum =
DateTime.Now.AddSeconds(14400).ToOADate();

        chart2.ChartAreas[0].AxisX.IntervalType =
DateTimeIntervalType.Seconds;
        chart2.ChartAreas[0].AxisX.Interval = 1200;

chart3.ChartAreas[0].AxisY.Maximum = 6;
        chart3.ChartAreas[0].AxisY.Minimum = 0;

        chart3.ChartAreas[0].AxisX.LabelStyle.Format =
"H:mm:ss";
        chart3.Series[0].XValueType =
ChartValueType.DateTime;

        chart3.ChartAreas[0].AxisX.Minimum =
DateTime.Now.ToOADate();
        chart3.ChartAreas[0].AxisX.Maximum =
DateTime.Now.AddSeconds(14400).ToOADate();

        chart3.ChartAreas[0].AxisX.IntervalType =
DateTimeIntervalType.Seconds;
        chart3.ChartAreas[0].AxisX.Interval = 1200;

chart4.ChartAreas[0].AxisY.Maximum = 8;
        chart4.ChartAreas[0].AxisY.Minimum = 0;

        chart4.ChartAreas[0].AxisX.LabelStyle.Format =
"H:mm:ss";
        chart4.Series[0].XValueType =
ChartValueType.DateTime;

        chart4.ChartAreas[0].AxisX.Minimum =
```

```

DateTime.Now.ToOADate();
        chart4.ChartAreas[0].AxisX.Maximum =
DateTime.Now.AddSeconds(14400).ToOADate();

        chart4.ChartAreas[0].AxisX.IntervalType =
DateTimeIntervalType.Seconds;
        chart4.ChartAreas[0].AxisX.Interval = 1200;
    }

protected override void OnPaint(PaintEventArgs e)
{
    base.OnPaint(e);
    g = e.Graphics;
    SolidBrush myBrush = new SolidBrush(Color.Red);
    Pen selPen = new Pen(Color.Blue);
    g.DrawEllipse(selPen, 110, 360, 90, 90);
    g.FillEllipse(myBrush, 110 + (_angle/2), 360, 90 -
_angle, 90);
    myBrush.Dispose();
}

private void timer1_Elapsed(object sender,
ElapsedEventArgs e)
{
    if (_acid <= 8)
    {
        _temp = 75;
        _acid = 12;
        _soule = 0;
        _countTick = 0;
    }
    DateTime timeNow = DateTime.Now;

    double currentTemp = _temp;
    double currentAcid = _acid;

```

```

        var res = _netUtils.GetTemperature(currentTemp,
currentAcid, _radialNet);

        var predTemp = currentTemp + res;
        var angle = _temperatureRadialNet.GetRange(_temp,
predTemp);

        var sole = _netUtils.GetSole(_countSeconds);

chart1.Series[0].Points.AddXY(timeNow.AddMinutes(10*_countHours)
.ToOADate(), predTemp);

        chart2.Series[0].Points.AddXY(timeNow.AddMinutes(10
* _countHours).ToOADate(), angle);
        chart3.Series[0].Points.AddXY(timeNow.AddMinutes(10
* _countHours).ToOADate(), _soule);
        chart4.Series[0].Points
            .AddXY(timeNow.AddMinutes(10 *
_countHours).ToOADate(), _netUtils.GetPower(angle, ref _power));

        _temp = currentTemp + res;
        _acid = currentAcid -
_netUtils.GetAcid(_countSeconds);
        _soule += sole;
        _countHours += 1;
        _countTick += 0.3 + new Random().NextDouble()/10;
        _countSeconds++;
        _angle = (int)angle;
        Refresh();

        if(_countSeconds == 26) RefreshImages();

    }

    private void RefreshImages()

```

```

    {
        chart1.ChartAreas[0].AxisX.Minimum =
DateTime.Now.AddHours(_countHours/6 - 0.3).ToOADate();
        chart1.ChartAreas[0].AxisX.Maximum =
DateTime.Now.AddHours(_countHours/6).AddSeconds(14400).ToOADate(
);

        chart1.ChartAreas[0].AxisX.IntervalType =
DateTimeIntervalType.Seconds;
        chart1.ChartAreas[0].AxisX.Interval = 1200;

        chart2.ChartAreas[0].AxisX.Minimum =
DateTime.Now.AddHours(_countHours/6 - 0.3).ToOADate();
        chart2.ChartAreas[0].AxisX.Maximum =
DateTime.Now.AddHours(_countHours/6).AddSeconds(14400).ToOADate(
);

        chart2.ChartAreas[0].AxisX.IntervalType =
DateTimeIntervalType.Seconds;
        chart2.ChartAreas[0].AxisX.Interval = 1200;

        chart3.ChartAreas[0].AxisX.Minimum =
DateTime.Now.AddHours(_countHours/6 - 0.3).ToOADate();
        chart3.ChartAreas[0].AxisX.Maximum =
DateTime.Now.AddHours(_countHours/6 -
0.3).AddSeconds(14400).ToOADate();

        chart3.ChartAreas[0].AxisX.IntervalType =
DateTimeIntervalType.Seconds;
        chart3.ChartAreas[0].AxisX.Interval = 1200;

        _countSeconds = 0;
        _power = false;
    }
}

```

}